

**CÁLCULO DE BLINDAGEM PARA ENCAPSULAMENTO DE FONTE
DE $^{226}\text{Ra-Be}$ UTILIZANDO O CÓDIGO DOT-3.5**

MARGARET DE ALMEIDA DAMY
ROBERTO VICENTE
DEMÉRAL LEONIDAS RODRIGUES
Instituto de Pesquisas Energéticas e Nucleares

RESUMO

Uma fonte de Ra-Be utilizada em pesquisa apresentou vazamento, sendo enviada ao IPEN para tratamento como rejeito radioativo. Foram feitos cálculos com o código de transporte bidimensional DOT-3.5 para verificar a viabilidade da utilização da embalagem rotineiramente usada no IPEN para encapsulamento de fontes de rádio. O levantamento radiométrico da superfície externa da embalagem foi efetuado para comparação dos resultados calculados com os experimentais.

INTRODUÇÃO

O objetivo deste trabalho foi primeiramente calcular a blindagem necessária para a proteção de uma fonte de $^{226}\text{Ra-Be}$ de intensidade 100 mCi (decaimento α) utilizando-se a embalagem normalmente empregada no IPEN para a contenção de fontes de Ra. Os resultados do levantamento radiométrico realizado na superfície da embalagem após a imobilização da fonte, foram comparados com os valores calculados com o código de transporte bidimensional DOT-3.5 (1).

A fonte Ra-Be (α, n) possui como vantagem para fontes de nêutrons uma alta atividade específica. No entanto, algumas desvantagens tornam-na uma fonte pouco utilizada atualmente. Possui um largo espectro de energias de nêutrons (as várias energias α emitidas pelo ^{226}Ra e seus produtos filhos geram nêutrons de energias diferentes, além da perda de energia das partículas α no próprio berílio) e apresenta um intenso campo de gamas associado (vários produtos filhos do ^{226}Ra decaem por α e β com emissão γ associada. A cadeia de decaimento do rádio é apresentada na figura 1(2).

A composição dos materiais constituintes da embalagem utilizada nos cálculos encontra-se na tabela 1.

DEFINIÇÃO DO PROBLEMA

A embalagem para a fonte de $^{226}\text{Ra-Be}$ consiste de um tambor de aço galvanizado com espessura de aproximadamente 1,2mm (não considerado nos cálculos de blindagem), preenchido por concreto barita, onde a fonte Ra-Be ($\phi = 15\text{mm}$ e $h = 60\text{mm}$) é colocada em uma cápsula de aço inox AISI 304 de dimensões $\phi_{ext} = 75\text{mm}$, $\phi_{int} = 72\text{mm}$ e $h = 490\text{mm}$. Na figura 2 é apresentado o esquema geométrico da embalagem simulada no cálculo. Foram feitos cálculos para três materiais preenchendo o espaço entre a fonte e a cápsula de aço inox: ar, parafina borada e carvão ativo.

Os fluxos foram calculados com o código DOT-3.5, em uma estrutura de 40 grupos de energia (22 grupos de nêutrons e 18 grupos de gamas) em geometria cilíndrica bidimensional (R-Z).

Tabela 1. DENSIDADE DOS NUCLÍDEOS e MATERIAIS

REGIÃO ($\rho \text{ g/cm}^3$)	Símbolo do Nuclídeo	CONCENTRAÇÃO [#átomos/barn]
Ar (0,0012)	O-16 N-14	9,521E-06 4,091E-05
Parafina Borada	C-12 H-1	2,351E-02 6,982E-02
Borax 1,73	Na-23	2,124E-03
Paraf 0,9	B-10 B-11 O-16	8,410E-04 3,407E-03 1,805E-02
Aço Inox (7,87)	C-12 Si Fe Ni Cr Mn-55	3,20E-04 1,708E-03 5,700E-02 8,581E-03 1,846E-02 1,747E-03
Concreto Barita (3,7)	O-16 H-1 Al-27 Ca-40 Ca-44 Mg-24 Mg-25 Mg-26 Si-28 Si-29 Si-30 Fe-54 Fe-56 Fe-57 Ba-134 Ba-135 Ba-136 Ba-137 Ba-140	4,318E-02 1,039E-02 2,725E-04 2,780E-03 5,560E-03 1,467E-04 1,833E-05 1,833E-05 7,934E-04 4,760E-05 3,174E-05 3,990E-06 6,783E-05 3,990E-06 1,947E-04 5,354E-04 6,328E-04 9,086E-04 5,841E-03
Carvão Ativado (0,4 bulk) 70% ar	O-16 N-14 C-12	1,422E-05 6,072E-05 2,006E-02

As seções de choque microscópicas foram calculadas para as 5 regiões definidas na figura 2, com o código AMPX-II (4) e as seções de choque macroscópicas foram geradas com o código AXMIX (5), para as densidades isotópicas mostradas na tabela 1.

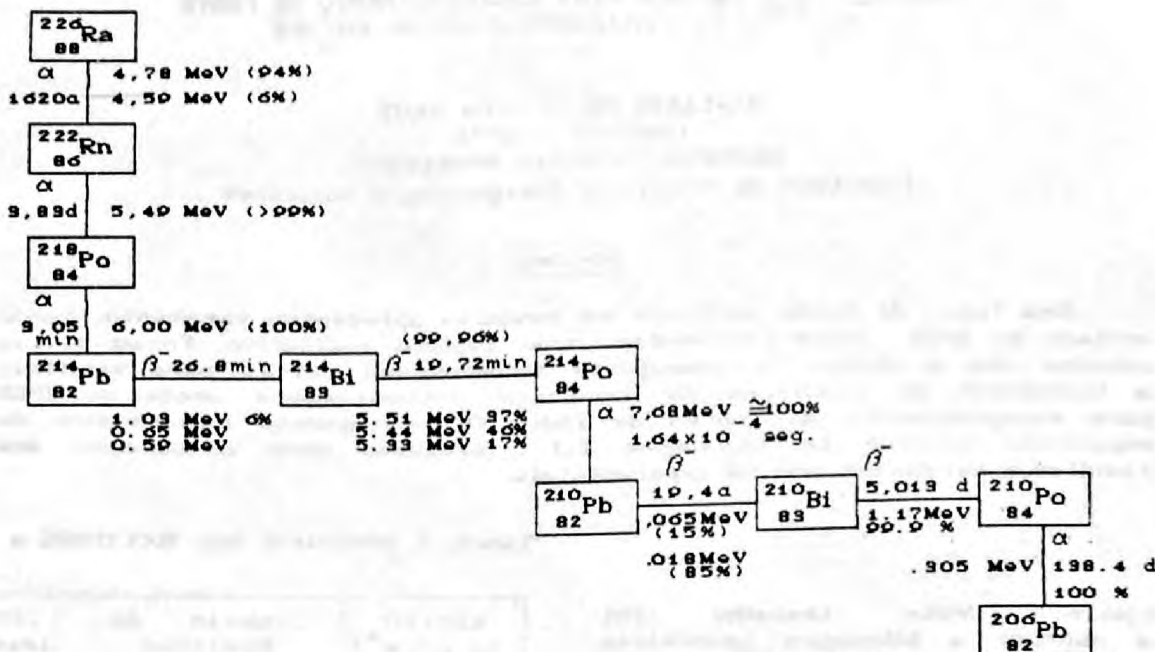


Fig. 1 Série Radioativa do Rádio-226.

O espectro de nêutrons, em 22 grupos de energia, considerado nos cálculos, foi adaptado das referências [6] - [10]. Este espectro, bem como os limites superiores de energia por grupo são apresentados na tabela 2. Para os 18 grupos de energia de gamas, os limites de energia e a fração por grupo são mostrados na tabela 3.

Para calcular a fonte de nêutrons, o valor do espectro em cada grupo de energia foi dividido pelo volume da fonte ($\Phi = 1,5\text{cm}^2$ e $h = 6,0\text{cm} \approx 10,6\text{ cm}^3$) e multiplicado pelo valor do rendimento neutrônico deste tipo de fonte que é de 77 neutrões para cada 10^6 partículas α [10], ou seja, $2,849 \times 10^5$ neutrões/segundo para a atividade α de 100 mCi.

Estes valores são fornecidos por intervalo espacial e por grupo de energia para o programa DOT-3.5, para calcular os fluxos de neutrões que sairão da embalagem da fonte. Da mesma maneira, para o cálculo da fonte de gamas a fração ou probabilidade de ocorrência de gamas por desintegração de cada átomo de ^{226}Ra foi multiplicada pela intensidade da fonte (20 mCi).

RESULTADOS

Foram calculados os fluxos para três configurações: ar, parafina borada e carvão ativado na região 2 da figura 2. As taxas de dose foram obtidas multiplicando-se os fluxos por fatores de dose adequados [12], através do programa computacional ISOFD desenvolvido pela Seção de Blindagem do IPEN.

Taxas de Dose Calculadas. As taxas de dose na região externa da embalagem da fonte encontram-se na tabela 4.

As posições onde foram calculadas as taxas de dose são referentes aos valores máximos ocorridos na superfície externa da embalagem proposta. Na figura 3 são apresentados os pontos para os quais as taxas de dose são máximas.

REGIÃO:

- | | |
|----------|--|
| Legenda: | <input checked="" type="checkbox"/> 1 - Fonte |
| | <input type="checkbox"/> 2 - Ar, Parafina Borada ou Carvão Ativado |
| | <input checked="" type="checkbox"/> 3 - Aço |
| | <input type="checkbox"/> 4 - Concreto Barita |
| | <input type="checkbox"/> 5 - Concreto Barita |

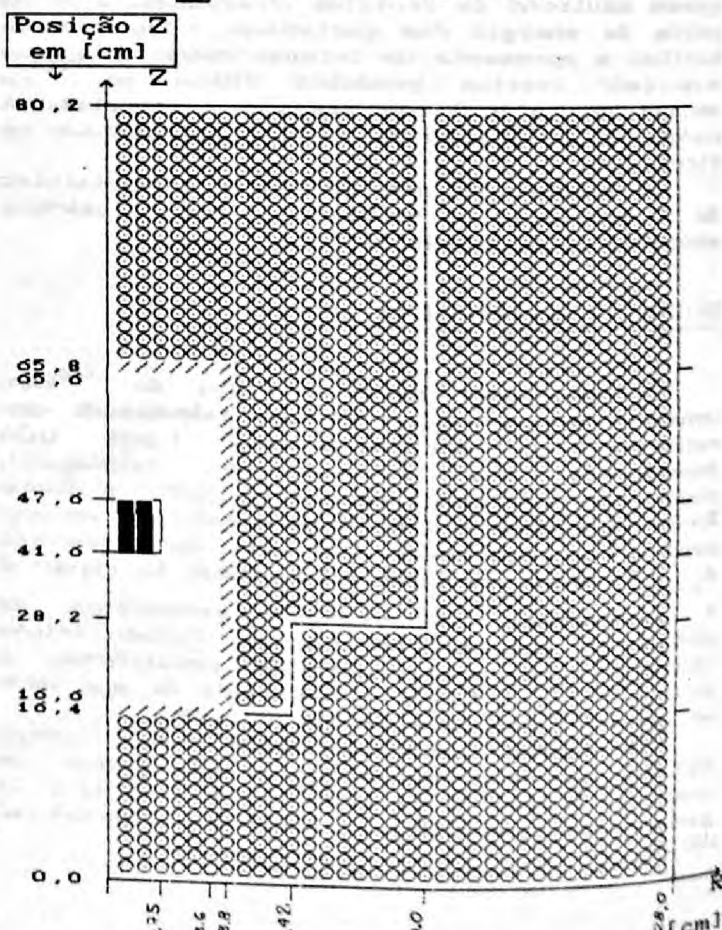


Fig. 2 Especificação das Regiões utilizadas no DOT-3.5.

Tabela 2. Espectro e Estrutura de Energia
dos grupos de Neutrons (*)

Grupo	Límite Superior [MeV]	Espectro de Nêutrons Calculado (a)
1	17,33	$5,6307 \times 10^{-2}$
2	12,214	$4,7031 \times 10^{-2}$
3	10,00	$4,1580 \times 10^{-2}$
4	8,1873	$4,1559 \times 10^{-2}$
5	6,3763	$3,7183 \times 10^{-2}$
6	4,9659	$3,5262 \times 10^{-2}$
7	4,0657	$3,5242 \times 10^{-2}$
8	3,0119	$3,8003 \times 10^{-2}$
9	2,4660	$4,7953 \times 10^{-2}$
10	2,3457	$3,8395 \times 10^{-2}$
11	1,8268	$3,6142 \times 10^{-2}$
12	1,1080	$3,7840 \times 10^{-2}$
13	$5,5023 \times 10^{-1}$	$3,9726 \times 10^{-2}$
14	$1,1109 \times 10^{-1}$	$4,8384 \times 10^{-2}$
15	$3,3546 \times 10^{-3}$	$5,2328 \times 10^{-2}$
16	$5,8295 \times 10^{-4}$	$5,2422 \times 10^{-2}$
17	$1,0130 \times 10^{-4}$	$5,2438 \times 10^{-2}$
18	$2,9203 \times 10^{-5}$	$5,2440 \times 10^{-2}$
19	$1,0677 \times 10^{-5}$	$5,2441 \times 10^{-2}$
20	$3,0590 \times 10^{-6}$	$5,2441 \times 10^{-2}$
21	$1,1254 \times 10^{-6}$	$5,2441 \times 10^{-2}$
22	$4,1399 \times 10^{-7}$	$5,2441 \times 10^{-2}$

(*) O espectro está normalizado para um (1) nêutron por segundo de fonte.

Taxas de Dose Medidas no Embalado. A fonte foi immobilizada de acordo com os procedimentos utilizados rotineiramente para o encapsulamento de fontes de Ra e com carvão ativado na região 2.

Optou-se por preencher a região 2 da embalagem com carvão ativado por duas razões: este material já é empregado usualmente para o encapsulamento de fontes de rádio; e a redução nas taxas de dose com a utilização da parafina borada não justifica o trabalho adicional junto à fonte durante a imobilização desta.

Foi feito um levantamento radiométrico na superfície do embalado nos pontos indicados na figura 3 para comparar as taxas de dose de gamas e de nêutrons com os valores calculados.

Foram utilizados dois monitores de radiação: um detector Geiger-Müller para o campo de radiação gama entre 0 e 100 mR/h, modelo PI760; e um contador proporcional esférico para taxas de dose equivalente de neutrões entre 0,1 mrem/h a 1 rem/h para neutrões com energia entre 0,025 eV e 7 MeV.

Os resultados das medidas estão indicados na tabela 5. Além disso, para comparação foram incluídos os resultados calculados nas mesmas posições.

Tabela 3. Espectro e Estrutura dos Grupos de Energia de Gamas

Grupo	Limite Superior [MeV]	Fração de Gamas
1	14,0	-
2	2,5	0,0781
3	2,0	0,2244
4	1,66	0,0213
5	1,50	0,0805
6	1,33	0,2404
7	1,0	0,0431
8	0,8	0,0588
9	0,7	0,4655
10	0,6	-
11	0,4	0,3580
12	0,3	0,2611
13	0,2	0,0329
14	0,15	-
15	0,1	0,15
16	0,075	0,062
17	0,06	0,0518
18	0,045	-

REGIAO:

- Legenda: 1 - Fonte
 2 - Ar, Parafina Borada ou Carvão Ativado
 3 - Aço
 4 - Concreto Barita
 5 - Concreto Barita

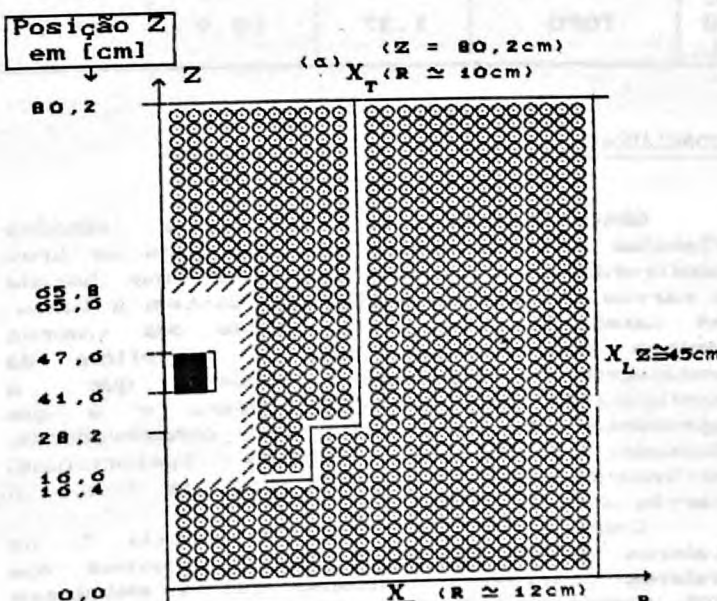


Fig. 3 - Posição Relativa da Localização dos Pontos onde Foram Calculadas e Medidas as Taxas de Dose. Os pontos X_b, X_a e X_c referem-se às taxas de dose respectivamente na Base, Lateral e Topo da Superfície da Embalagem.

Tabela 4. Taxas de Dose (mRem/horal) Calculadas na Região Externa da Embalagem

Material ao Lado da Fonte	Local na Sup. da Emb.	Taxas de Dose devido a		
		NEUTRONS	GAMAS	TOTAL
PARAFINA BORADA	BASE	0,37	3,66	4,03
	LATERAL	2,61	20,2	22,8
	Região 2 TOPO	1,08	15,8	16,9
AR na Região 2	BASE	1,09	7,30	8,39
	LATERAL	3,53	23,6	27,1
	TOPO	3,11	32,4	35,5
CARVÃO ATIVADO	BASE	0,859	4,78	5,64
	LATERAL	3,77	23,8	27,6
	Região 2 TOPO	1,37	13,9	15,3

Tabela 5. Taxas de Dose (mRem/horal) Medidas e Calculadas com Carvão Ativado na Região 2 .

Localização na Superfície da Embalagem	Taxas de Dose devido a		
	NEUTRONS	GAMAS	TOTAL
M E BASE	-	-	-
D I LATERAL	3,0	30,0	33,0
D O TOPO	0,7	8,0	15,0
C A BASE	0,859	4,78	5,64
L C LATERAL	3,77	24,2	28,0
U L TOPO	1,37	13,9	15,3

CONCLUSÃO

Observando-se os resultados obtidos (Tabelas 4 e 5), verifica-se que para as três configurações calculadas, ar, parafina borada e carvão ativado na região que contém a fonte, as taxas de dose estão abaixo dos valores limites estabelecidos para a superfície da embalagem. Verifica-se também que a configuração com parafina borada é a que apresenta os resultados mais conservadores. Contudo, devido a aspectos operacionais, utilizou-se para a imobilização da fonte o carvão ativado na região 2.

Como pode ser visto na tabela 5, os valores calculados estão muito próximos dos valores observados indicando que a embalagem foi modelada corretamente e mais uma vez confirmando a utilidade do Código de Transporte DOT 3.5 para a determinação de espessuras de blindagem em geometrias complexas. A indicação de que a metodologia de cálculo é adequada deve-se a ordem de grandeza dos resultados e não aos valores numéricos em si.

As diferenças existentes entre os valores calculados e os valores medidos podem ser atribuídas as seguintes razões: incerteza na determinação do espectro de neutrons e atividade da fonte; incerteza nos valores da composição isotópica, densidade e espessura dos materiais de blindagem que foram utilizados nos cálculos; erros na posição e leitura dos detectores.

REFERÊNCIAS

- (1) - Rhoades, W.A., Mynatt, F.R., "DOT-3.5 - Two Dimensional Discrete Ordinates Radiation Transport Code", Oak Ridge National Laboratory, Oak Ridge (CCC-276).
- (2) - Beckurts, K.H., Wirtz, K., "Neutron Physics", Oak Ridge National Laboratory, Tennessee, 1958.
- (3) - Rodrigues, D.L., Embalagem para encapsulamento, transporte e deposição de fontes de Radio-226, Relatório final interno, IPEN, 1990.
- (4) - "AMPX-II - A Modular Code System for Generating Coupled Multigroup Neutron - Gamma Libraries from Data in ENDF Format", Oak Ridge National Laboratory, Oak Ridge, Tennessee, (PSR-63).
- (5) - "The AXMIX Program for Cross Section Mixing and Library Arrangement", Oak Ridge National Laboratory, Oak Ridge, Tennessee, (PSR-75).
- (6) - Marion, J.B., Fowler, J.L., "Fast Neutron Physics - Techniques" Parte I, v.1, 1960.
- (7) - Thompson, M.N., Taylor, J.M., "Neutron Spectra from Am- α -Be and Ra- α -Be Sources", Nuclear Instruments and Methods, v.37, p.305-308; 1965.

- (8) - Obst, A.W., Grandy, T.B., Weil, J.L., "Reaction $\text{Be}(\alpha, n)^{12}\text{C}$ from 1.7 to 6.4 MeV", Physical Review C, v.5, numero 3, p.738-754, 1971.
- (9) - Amersham/Searle Corporation, "Radiation Sources for Laboratory and Industrial Use" - Catalogo Comercial.
- (10) - Hess, W. N., "Neutrons from α -n Sources", Annals of Physics, v.2, p.115-133, 1959.
- (11) - Anderson, M.E., Bond Jr., W.H., Annals of Physics, v.43, p.330, 1963.
- (12) - Van Der Zwan, L., "Calculated Neutron Spectra from $\text{Be}(\alpha, n)$ Sources" Can. J. Physics, v.46, p. 1527-1536, 1968.
- (13) - Pauw, H., Aten Jr., A.H.W., "Neutron Spectra of α -Be Neutron Sources" Health Physics, v.22(9), p.511, 1972.
- (14) - Morgan, K.Z., Turner, J.E. (editores) - "Principles of Radiation Protection - A textbook of Health Physics", 1967.
- (15) - Attix, F.H., Roesch, W.C. (editores), "Radiation Dosimetry Fundamentals" - v.1 -2nd Edition, 1968.
- (16) - Goldstein, H., "Fundamental Aspects of Reactor Shielding", 1959.
- (17) - "American National Standard Neutron and Gamma-Ray Flux-to-Dose Rate Factors". ANSI-ANS 6.1.1, 1977.

Summary

A leaking spent radium-berillium source was sent to IPEN for treatment as radioactive waste. In order to verify the viability of the utilization of a standard package for radium sources, the two-dimensional discrete ordinates radiation transport code DOT-3.5 was used. The theoretical results for the surface of the packaging were in good agreement with the measured values.